

3次元渦運動のギ正準形式とグオートン解析

名大工 穀原真二 (Sinzi Kuwabara)

§1. まえがき

ここでは縮すことなく、粘性のない流体の3次元渦運動を考える。このよどみ運動においては、位相ベクトル、渦度の対応する成分を直接正準度¹⁾とし、その系のヘリシティーの半分をハミルトニアンとするとギ正準形式²⁾と書くこととする。³⁾対をなす通常の正準方程式の右辺の符号が正負に反るのに対し、ギ正準形式のそれは正である。

このギ正準方程式から近似的ルグオートンの方程式を導出する。渦系の切断と再結合には粘性の効果が必要である。数値積分において、空間、時間メッシュの分割から人工粘性が生ずるよろん、グオートン分割がそのよろん効果を持つと言えても全く不合理ではなかろう。そこで渦の切断、再結合をグオートン近似ルフトで可能であると言えう。

§2. 3次元渦運動のギ正準形式

無限の広い領域での縮すことなく、粘性のない流体の渦運動

12. Lagrange 座標 $\alpha = (\alpha_1, \alpha_2, \alpha_3)$ と時刻 t の独立変数とする
3 位置ベクトル $\mathbf{x} = \mathbf{x}(\alpha, t)$ ($\mathbf{x}(\alpha, 0) = \alpha$), 湍度ベクトル \mathbf{v}
 $\omega = \omega(\alpha, t)$ を用いる

$$\frac{D\mathbf{x}}{Dt} = \mathbf{v}(\alpha, t) = \frac{1}{4\pi} \iiint \frac{1}{r^3} \omega(\alpha', t) \times \mathbf{P} d^3\alpha' \quad (2.1)$$

$$\begin{aligned} \frac{D\omega}{Dt} &= e_\alpha \omega_\lambda \frac{\partial v_\lambda}{\partial x_\lambda} \quad (e_\alpha: \text{カルト座標の単位ベクトル}) \\ &= \frac{1}{4\pi} \iiint \left[-\frac{1}{r^3} \omega(\alpha) \times \omega(\alpha') - \frac{3}{r^5} (\mathbf{P} \cdot \mathbf{P}) (\omega(\alpha') \times \mathbf{P}) \right] d^3\alpha' \end{aligned} \quad (2.2)$$

$$\mathbf{P} = \mathbf{x}(\alpha, t) - \mathbf{x}(\alpha', t), \quad r = |\mathbf{P}|$$

と書きなさい。ここで $\mathbf{v}(\alpha, t)$ は流速ベクトル r の湍度
をもつて Biot-Savart の法則で表わされていき。ここで r は
無限遠からの距離はまじと仮定されていき。一方 (2.2) では
以下では、和の略記号がもろいられる。 (2.1) (2.2) は湍運動
を論ずるのを完全に閉じた形式である。すなはち、 $\omega(\alpha, t)$ の
初期条件 ($\operatorname{div} \omega(\alpha, 0) = 0$) を与えれば、以後の湍運動は完全
に決定される。 (2.2) は容易に

$$\begin{aligned} \frac{D\omega}{Dt} &= e_\alpha \omega_\lambda \frac{\partial v_\lambda}{\partial x_\lambda} \\ &= \frac{1}{4\pi} \iiint \left[\frac{1}{r^3} \omega(\alpha) \times \omega(\alpha') - \frac{3}{r^5} \mathbf{P} (\mathbf{P} \cdot (\omega(\alpha) \times \omega(\alpha'))) \right] d^3\alpha' \end{aligned} \quad (2.2')$$

と書きなさい。

2) フーリエ級数を考へる。 I が 1 次元 x の関数 $f(x)$ の
フーリエ級数、すなはち $I = I[f(x)]$ であるとき、 $f(x)$ を少し変化

さて $f(x) + \delta f(x)$ と (x=x)、I の変化 δI が

$$\begin{aligned}\delta I &= I[f(x) + \delta f(x)] - I[f(x)] \\ &= \int A(x) \delta f(x) dx + O(\delta f^2)\end{aligned}\quad (2.3)$$

と表わされると、 $A(x) \in I$ の $f(x)$ に関する微分といふ。

$$A(x) = \frac{\delta I}{\delta f(x)} \quad (2.4)$$

と表わす。 f が x_1, \dots, x_L の関数であるならばあるには、
たゞ式は

$$\begin{aligned}\delta I &= I[f(x_1, \dots, x_L) + \delta f(x_1, \dots, x_L)] - I[f(x_1, \dots, x_L)] \\ &= \int \int A(x_1, \dots, x_L) \delta f(x_1, \dots, x_L) d^L x + O(\delta f^2)\end{aligned}\quad (2.3')$$

$$A(x_1, \dots, x_L) = \frac{\delta I}{\delta f(x_1, \dots, x_L)} \quad (2.4')$$

又、多変数関数の多数の関数 $f_1(x_1, \dots, x_L), \dots, f_M(x_1, \dots, x_L)$
の汎関数のばあには

$$\begin{aligned}\delta I &= I[f_1 + \delta f_1, \dots, f_M + \delta f_M] - I[f_1, \dots, f_M] \\ &= \int \int \sum_{m=1}^M A_m(x_1, \dots, x_L) \delta f_m(x_1, \dots, x_L) d^L x + O(\delta f^2)\end{aligned}\quad (2.3'')$$

$$A_m(x_1, \dots, x_L) = \frac{\delta I}{\delta f_m(x_1, \dots, x_L)} \quad (2.4'')$$

とある。

今

$$I = \int F(f(x)) dx \quad (2.5)$$

の形の汎関数の導入法

$$\begin{aligned}\delta I &= \int F(f + \delta f) dx - \int F(f) dx \\ &= \int \frac{\partial F}{\partial f} \delta f(x) dx + O(\delta f^2)\end{aligned}$$

$\epsilon_{\alpha\beta\gamma}$ の定義

$$\frac{\delta I}{\delta f} = \frac{\partial F}{\partial f} \quad (2.6)$$

である。

$x(\alpha), \omega(\alpha)$ の間に $H[x, \omega]$ が

$$\begin{aligned}H[x, \omega] &= \frac{1}{8\pi} \iiint \iiint \frac{1}{r^3} \omega(\alpha') \cdot (\omega(\alpha'') \times \mathbf{P}) d^3\alpha' d^3\alpha'' \\ &= \frac{1}{8\pi} \iiint \iiint \frac{1}{r^3} \epsilon_{\lambda\beta\gamma} \omega_\lambda(\alpha') \omega_\beta(\alpha'') r_\gamma d^3\alpha' d^3\alpha'' \quad (2.7)\end{aligned}$$

$$\mathbf{P} = x(\alpha', t) - x(\alpha'', t), \quad r = |\mathbf{P}|$$

と定義すれば

$$\begin{aligned}\frac{\delta H}{\delta \omega_\alpha(\alpha)} &= \frac{1}{8\pi} \iiint \frac{1}{r^3} \epsilon_{\alpha\beta\gamma} \omega_\beta(\alpha'') (x_\gamma(\alpha) - x_\gamma(\alpha'')) d^3\alpha'' \\ &\quad + \frac{1}{8\pi} \iiint \frac{1}{r^3} \epsilon_{\lambda\alpha\gamma} \omega_\lambda(\alpha') (x_\gamma(\alpha') - x_\gamma(\alpha)) d^3\alpha' \\ &= \frac{1}{4\pi} \iiint \frac{1}{r^3} \epsilon_{\alpha\beta\gamma} \omega_\beta(\alpha') r_\gamma(\alpha, \alpha') d^3\alpha' \\ &= \frac{1}{4\pi} \iiint \frac{1}{r^3} [\omega(\alpha') \times \mathbf{P}]_\alpha d^3\alpha' \quad (2.8)\end{aligned}$$

$$\begin{aligned}\frac{\delta H}{\delta x_\alpha(\alpha)} &= \frac{1}{4\pi} \iiint \left(\frac{1}{r^3} \epsilon_{\alpha\beta\gamma} \omega_\beta(\alpha) \omega_\gamma(\alpha') \right. \\ &\quad \left. - \frac{3}{r^5} r_\alpha(\alpha, \alpha') \omega_\alpha(\alpha) \epsilon_{\lambda\beta\gamma} \omega_\beta(\alpha') r_\lambda(\alpha, \alpha') \right) d^3\alpha'\end{aligned}$$

$$= \frac{1}{4\pi} \iiint \left[\frac{1}{2^3} \omega(\alpha) \times \omega(\alpha') - \frac{3}{2^5} \nabla (\omega(\alpha) \cdot (\omega(\alpha') \times \nabla(\alpha, \alpha'))) \right] d^3\alpha' \quad (2.9)$$

註記。 (2.8), (2.9) と (2.1), (2.2) を比較すれば 2 番目が (2.9)

$$\frac{Dx}{Dt} = \frac{\delta H}{\delta \omega_\alpha} \quad (2.10)$$

$$\frac{D\omega_\alpha}{Dt} = \frac{\delta H}{\delta x_\alpha} \quad (2.11)$$

註記。 これらの方の左辺の “すれかわ” 置きがつけば通常の正準形式となる。 これは二つの場合にはも正準形式 pseud-canonical formulation と呼ぶこととする。

ヘリシテイ - $Hl(t)$ は

$$Hl(t) = \iiint v(x, t) \cdot \omega(x, t) d^3x \\ = \iiint v(\alpha, t) \cdot \omega(\alpha, t) d^3\alpha$$

と定義すれば、 (2.1) が

$$Hl(t) = \frac{1}{4\pi} \iiint \iiint \frac{1}{2^3} \omega(\alpha, t) \cdot (\omega(\alpha', t) \times \nabla) d^3\alpha d^3\alpha' \quad (2.12)$$

となり、 (2.7) はヘリシテイ - の半分であることがわかる。

§3. も正準形式からガードル - トニ近似の導出

△コンパクトな溝の場 ($\omega \neq 0$ の領域の閉包が有界、 閉

等会) を考え、これを細胞の分割 ℓ , $\ell=1, \dots, L$ と名前をつり、各々を力学系の単位とし近似する。特性関数

$$\Lambda^3(\alpha, \ell) = \begin{cases} 1, & \alpha \in \ell\text{-細胞} \\ 0, & \alpha \notin \ell\text{-細胞} \end{cases} \quad (3.1)$$

を定義する。 $\varepsilon = \varepsilon'$

$$\iiint \Lambda^3(\alpha, \ell) d^3\alpha = V(\ell) \quad (3.2)$$

は ℓ 細胞の体積で、時間的に一定である。従々細胞の分裂を考えながら隔壁には分裂(あるいは初期)から次の分裂の間体積は保存する。

細胞の運動を考え子時、細胞の広がる位置ベクトル $X(\alpha, t)$ ($\alpha / \Lambda^3(\alpha, \ell) = \varepsilon / \varepsilon'$ の位置ベクトル $X_\alpha(\ell, t)$) で表わし、又濃度 $\omega(\alpha, t)$ は $X_\alpha(\ell, t)$ に集中しておこうとして

$$\omega_\alpha(\alpha, t) = \sum_\ell \Omega_\alpha(\ell, t) \Lambda^3(\alpha, \ell) \quad (3.3)$$

$$\omega_\alpha(\alpha, t) = \sum_\ell \Omega_\alpha(\ell, t) V(\ell) \delta^3(\alpha - A(\ell)) \quad (3.4)$$

$$X_\alpha(\ell, t) = x_\alpha(A(\ell), t) \quad (3.5)$$

と近似する。 (3.4) の $V(\ell)$ は Ω_α が濃度の逆元をもつときに入れ込むのである。このように濃度と細胞の分割し、單一の位置ベクトル $X(\ell, t)$ と濃度ベクトル $\Omega(\ell, t)$ で表わすことを図つて、無限連續自由度の力学系と可附着自由度の力学系で近似する方法をオートン・モード"morse"と呼ぶ。

(2.7) の H の \times , \otimes も (3.3), (3.4) の近似式を代入し、積分を実行すれば、 $H \approx X(l,t)$, $\Omega(l,t)$ の関数となる (3.3)。
 $\exists = \exists^* X, \Omega$ は $\approx 1/2$ の誤合をとれば

$$\delta H = \sum_l \left(\frac{\partial H}{\partial X_\alpha(l)} \delta X_\alpha(l) + \frac{\partial H}{\partial \Omega_\alpha(l)} \delta \Omega_\alpha(l) \right) \quad (3.6)$$

を (3) より H の \times , \otimes を $\approx 1/2$ の誤合をとれば

$$\delta H = \iiint \left(\frac{\delta H}{\delta X_\alpha(a)} \delta X_\alpha(a) + \frac{\delta H}{\delta \omega_\alpha(a)} \delta \omega_\alpha(a) \right) d^3a \quad (3.7)$$

を (3) より $\delta X_\alpha(a)$, $\delta \omega_\alpha(a)$ を (3.3), (3.4) の式に代入せよ

$$\begin{aligned} \delta X_\alpha &= \sum_l \delta X_\alpha(l,t) \Lambda^3(a, l) \\ \delta \omega_\alpha &= \sum_l \delta \Omega_\alpha(l,t) D(l) \delta^3(a - A(l)) \end{aligned} \quad \left. \right\} \quad (3.8)$$

と近似すれば、(3.7) は

$$\begin{aligned} \delta H &= \sum_l \left[\iiint \frac{\delta H}{\delta X_\alpha(a)} \Lambda^3(a, l) d^3a \delta X_\alpha(l,t) \right. \\ &\quad \left. + \iiint \frac{\delta H}{\delta \omega_\alpha(a)} \delta^3(a - A(l)) d^3a D(l) \delta \Omega_\alpha(l,t) \right] \end{aligned} \quad (3.9)$$

を (3) より (3.6) と (3.9) は 2 つの式で IL-1 を左に、 H の誤合の近似を行なうのであるが、この両者が一致しなければ誤合となるといふ条件（兩立条件）と譯せば

$$\frac{\partial H}{\partial X_\alpha(l)} = \iiint \frac{\delta H}{\delta X_\alpha(a)} \Lambda^3(a, l) d^3a \quad (3.10)$$

$$\frac{\partial H}{\partial \Omega_{\alpha}(\ell)} = \iiint \frac{\delta H}{\delta \omega_{\alpha}(\alpha)} \delta^3(\alpha - A(\ell)) d^3\alpha V(\ell) \quad (3.11)$$

が成立す。

又 (2.10), (2.11) は ω_{α} , ω_{α} は (3.3), (3.4) の
近似式をもつ場合の対応する方程式を表す。 (3.10), (3.11)
の左辺の形から (2.10) は $\iiint \alpha^3 \alpha \delta^3(\alpha - A(\ell)) V(\ell)$ す。 (2.11)
は $\iiint d^3 \alpha \Lambda^3(\alpha, \ell)$ のオペレーティング子 = すと両者の左
辺はともに偏微分で表わされる。すなはち

$$\iiint \frac{Dx_{\alpha}}{Dt} \delta^3(\alpha - A(\ell)) d^3\alpha V(\ell) = \frac{\partial H}{\partial \Omega_{\alpha}(\ell)} \quad (3.12)$$

$$\iiint \frac{D\omega_{\alpha}}{Dt} \Lambda^3(\alpha, \ell) d^3\alpha = \frac{\partial H}{\partial X_{\alpha}(\ell)} \quad (3.13)$$

ところで左辺の積分を実行する結果

$$\frac{Dx_{\alpha}(\ell, t)}{Dt} = \frac{1}{V(\ell)} \frac{\partial H}{\partial \Omega_{\alpha}(\ell)} \quad (3.14)$$

$$\frac{D\Omega_{\alpha}(\ell, t)}{Dt} = \frac{1}{V(\ell)} \frac{\partial H}{\partial X_{\alpha}(\ell)} \quad (3.15)$$

ところで (2.7) は (3.3), (3.4) の代入し、積分を実行すれば

$$H = \frac{1}{8\pi} \sum_{\ell'} \sum_{\ell''} \frac{\epsilon_{\alpha\beta\gamma}}{R(\ell', \ell'', t)} \Omega_{\alpha}(\ell', t) \Omega_{\beta}(\ell'', t) R_{\gamma}(\ell', \ell'', t) \\ V(\ell') V(\ell'') \quad (3.16)$$

$$R_{\alpha}(\ell', \ell'') = X_{\alpha}(\ell', t) - X_{\alpha}(\ell'', t), \quad R(\ell', \ell'', t) = |R(\ell', \ell'', t)|$$

さて $\ell' = \ell''$ のとき $0/0$ と γ の絶対値が ∞ となる

2の項はのちに扱うとする。(3.16)と(3.14), (3.15)に代入し
ベクトル形で書けば

$$\frac{D \vec{X}(\ell, t)}{Dt} = \frac{1}{4\pi} \sum_{\ell'}' \frac{\vec{V}(\ell')}{R(\ell', \ell'', t)}, \vec{Q}(\ell', t) \times \vec{R}(\ell, \ell', t) \quad (3.17)$$

$$\frac{D \vec{Q}(\ell, t)}{Dt} = \frac{1}{4\pi} \sum_{\ell'}' \vec{V}(\ell') \left[\frac{1}{R(\ell, \ell', t)}, \vec{Q}(\ell, t) \times \vec{Q}(\ell', t) \right.$$

$$- \frac{3}{R(\ell, \ell', t)^5} R(\ell, \ell', t) \left\{ \vec{Q}(\ell, t) \cdot (\vec{Q}(\ell', t) \times \right.$$

$$\left. \left. R(\ell, \ell', t) \right) \right\} \quad (3.18)$$

を記す。この式の $\sum_{\ell'}'$ は $\ell' = \ell$ の項を除くことを意味する。これはガウトーンの基礎方程式である。又、(2.10)
(2.11) と通常の近似式を比較して、渦系近似式を用いた方がよ
い。

§ 4. 分裂するガウトーンと時間マッシュの短縮

以前に行なった給水装置の渦輪の歯面実験⁴⁾で、始めは割合にすんぐりしてガウトーンも、ガウトーン間の非線形相互作用が強くなると、渦系の動きのはじ動量のため、急速に細長いガウトーンが成長することがわかった。このように状況ではガウトーンを單一の位置ベクトルと速度ベクトルで表すよりではなくて近似が悪く、ガウトーンの分裂を考えた必要が生ずる。ガウトーンは、實際には時間の経過と共に複雑な変形をうけ

るのである。しかし、この変形を簡単な長さと断面積の変化で表わしうると言え。すなはち、各ヴォートンの相当長さ、相当断面積といふ概念を導入し、ヴォートンの変形を大局的に考察する。今1つ1つのヴォートンに着目し、その相当長さ(温度と平行)を $\lambda(t)$ と相当断面積を $\sigma(t)$ とすれば、断面を円形と仮定(此時の相当直径は $2\sqrt{\sigma(t)/\pi}$ とす)、断面

(相当)太さ比 $T_h(t)$ を

$$T_h(t) = \frac{2\sqrt{\sigma(t)/\pi}}{\lambda(t)} \quad (4.1)$$

で定義する。

ヴォートンを渦系の一部と考えれば、この断面積と温度の積すなはう循環 Γ の断面積と長さの積すなはう体積は時間的不变と言えう。すなは

$$\omega(t) \sigma(t) = \Gamma = \text{不変} \quad (4.2)$$

$$\lambda(t) \sigma(t) = V = \text{不変} \quad (4.3)$$

といふ条件を満たすことである。初期の Γ, V は与えられたから時刻 t の $\omega(t)$ を計算すれば、(4.2), (4.3)は t と V 時刻の $\sigma(t)$ と $\lambda(t)$ が、したがって $T_h(t)$ は(4.1)は t と V 計算することができる。

實際の計算においては $T_h(t)$ は T_{h6} 以下 T_h をもって、 $T_h(t)$ が T_{h6} に達しない時は、ヴォートンが分裂すると考えられる。

経方向に 2 の等しいウォートンが分裂するとすれば、そのウォートンは消滅して、新しい X から Y の位置の側に相当長さの $1/4$ の位置に、渦度が（分裂前と）同じ、相当長さが半分、相当断面積が同じ、2つのウォートンが並んで存在する。各ウォートンについての予測を行って、計算を進めてゆくのである。

ウォートンの分裂を考えることは、流れの場の特徴的長さが減少することを意味する。このよどみ状況では、特徴的時間も減少すると考えられる。この力学系の実数で時間と表わすものとすると $(\omega(\alpha, t))^{-1}$ である。そこで

$$\omega_{\max}(t) = \max_{\alpha} |\omega(\alpha, t)| \quad (4.4)$$

を定義し、初期の $\omega_{\max}(t)$ が 2 倍であるとし、初期の時間 $\Delta t(0)$ の半分を新しい時間 Δt とし、以下同様に三分割を実行するものとする。各時刻の時間 Δt は

$$\Delta t(t) = \Delta t(0) / 2^{\text{Int}(\log_2(\omega_{\max}(t)/\omega_{\max}(0)))} \quad (4.5)$$

である。Int は小数部分を切り落とした整数化することを意味する。

3.5. 結論 2 の渦輪

半径 a 、断面 $\frac{1}{4}\pi a^2$ 、循環 Γ の、同心、同じ強さの 2 つの渦輪が、各渦輪と含む面が直交し、互いの中心を置くよう初期配位から、それらの発展をウォートン・エティルで計算

す。規格化は

$$x/a, t/(a^2/\pi), \sqrt{\pi/a}, \omega/(\pi/a^2) \quad (5.1)$$

等である。初期値は

$$b/a = 0.1, \Delta t(0) = 0.01 \quad (5.2)$$

初期には $20 \times 2 = 40$ 個のヴォートンがあるとする。

したがって

$$T_h(0) = 0.6366.. \quad (5.3)$$

である。また初期下限は $T_{h6} = 0.5$ とする。数値積分は差形 Euler 法であるから、(3.17), (3.18) の方法で時間微分を計算するとき、この時刻と次の 1 ステップ先のそれを(近似値)の平均値をとる方法で行つる。

第 1 図は渦輪の発展を 3 面図で示してある。図中の NT は渦輪にふくまれるヴォートンの数、 DT はその時刻における時間マッシュを示す。以下、エンストロフ、一(第 2 図, E_s)、ヘリシティー(第 2 図, H_e)、運動エネルギー(第 3 図, E_u)、全運動エネルギー(第 3 図, TE)、渦輪の運動量(第 4 図, P_u)、全運動量(第 4 図, TP)、角運動量(第 5 図, AP_u)、全角運動量(第 5 図, TAP)、全渦度(第 6 図, $T\Omega$)、渦度の初期値で規格化された L_2 ノルム $(E_s(t)/E_s(0))^{0.5}$ は $a=7$ で $\lambda = 2 \cdot 10^{-4}$ である。 $\omega_{max}(t)/\omega_{max}(0)$ の逆数(第 7 図)の時間発展が示されている。ここで $t=0 \sim 5$ は $a=t=5 \sim 5.055$

が別の圖に示している。第6圖の右にはガオートンの最小長さ（横軸）と渦輪全体の長さ（縦軸）の各時刻における値の軌跡が両対数グラフで示してある。

すれ、上の種々量は、

$$E_s(t) = \frac{1}{2} \iiint \omega(\alpha, t)^2 d^3\alpha \quad (5.4)$$

$$Hl(t) = \iiint w(\alpha, t) \cdot \omega(\alpha, t) d^3\alpha \quad (5.5)$$

$$E(t) = \frac{1}{8\pi} \iiint \iiint \frac{1}{2} \omega(\alpha, t) \cdot \omega(\alpha, t) d^3\alpha d^3\alpha' \quad (5.6)$$

$$P_\alpha(t) = \frac{1}{2} \iiint \epsilon_{\alpha\beta\gamma} x_\beta(\alpha, t) \omega_\gamma(\alpha, t) d^3\alpha \quad (5.7)$$

$$AP_\alpha(t) = \frac{1}{2} \iiint (x_\alpha(\alpha, t)^2 - x(\alpha, t)^2) \omega_\alpha(\alpha, t) d^3\alpha \quad (5.8)$$

$$TO_\alpha(t) = \iiint \omega_\alpha(\alpha, t) d^3\alpha \quad (5.9)$$

を總和の形にまとめて計算した。 (5.6) では適当な近似で、自己エネルギー ($\alpha \approx \alpha'$) を考慮した。 (5.8) の右辺では和の記号はつかわれてない。

§ 6. まず α'

この論文では、3次元渦運動について、渦の位置ベクトルと渦度の対応する成分を正準共役変数にすれば、半正準形式で書け、この力学系を完全に閉じた形で論じることを示した。渦場の細胞分割を行ひ、位置ベクトルと渦度ベクトルの近似を行つて、細胞を1つの位置ベクトルと渦度ベクトルで表わすとガオートン近似がえられることを示した。

渦の引きのばし効果によって、始めんぐりしたウオートンと時間の経過と共に急速に細長のウオートンを二つに分かっている。ここで細長いウオートンを一つの位置ベクトルと温度を表すでは近似がつかないので、ウオートンの分裂を考慮する。各ウオートンの相当太さ比を定義し、太さ比が下限をもとめ、それ以後すると縱に分裂するという条件を課した。ウオートンの分裂は流れの特徴的長さの減少を意味し、それによって特徴的時間も減少するから、時間積分にあたって、時間× Δt を減少させ有必要がある。流れる変数の中で $w(a, t)^{-1}$ が時間の次元をもつ。ここで流れの渦度の最大値の逆数が半分になると時間× Δt を半分にするよう時間積分の方法をとる。

以上の方針を経て2つの端輪の運動の解析に $t=0 \sim 5.055$ の間で打ち込む。ウオートンの分裂、時間× Δt の減少の経過は次のようである。 $t=0.56$ で最初の分裂(1次)が起り、 $t=1.86 \sim 2.12$ 、 $t=2.545 \sim 2.83$ 次、 $t=3.4825 \sim 3.74$ 次、 $t=4.7900 \sim 5$ 次、 $t=4.98875 \sim 6$ 次、 $t=5.0025 \sim 7$ 次、 $t=5.003375 \sim 8$ 次の分裂が各々最初に起る。しかし $t=5.055$ の時刻は最初のウオートンの64分の1のウオートンが存在しておらずである。時間× Δt は $t=0 \sim \Delta t=0.01$ 、 $t=1.92 \sim \Delta t=0.005$ 次、 $t=3.070 \sim \Delta t=0.0025$

12. $t = 4.9600 \tau$ $\Delta t = 0.00125 \tau$, $t = 4.9975 \tau$ $\Delta t = 0.000625 \tau$, $t = 5.0375 \tau$ $\Delta t = 0.0003125 \tau$ 減少しを
 $t = 4$ 附近からウォートンの数が急速に減少し、 $t = 5$ 附近前
 から時間meshの減少が急速に起こる。しかし、 $t = 5 \sim 5.055$ の計算の方が $t = 0 \sim 5$ の計算時間より長いからどう
 の結果になった。

オ1回の $t \geq 5$ の図を見て、2つの渦輪のつなぎかじ
 け起つてない。2つの渦輪が接近した附近では非常に複雑
 な変形が起つている。しかし、他方の渦輪の効果より、自
 分自身の相互作用によって多く変形してしまっている
 。

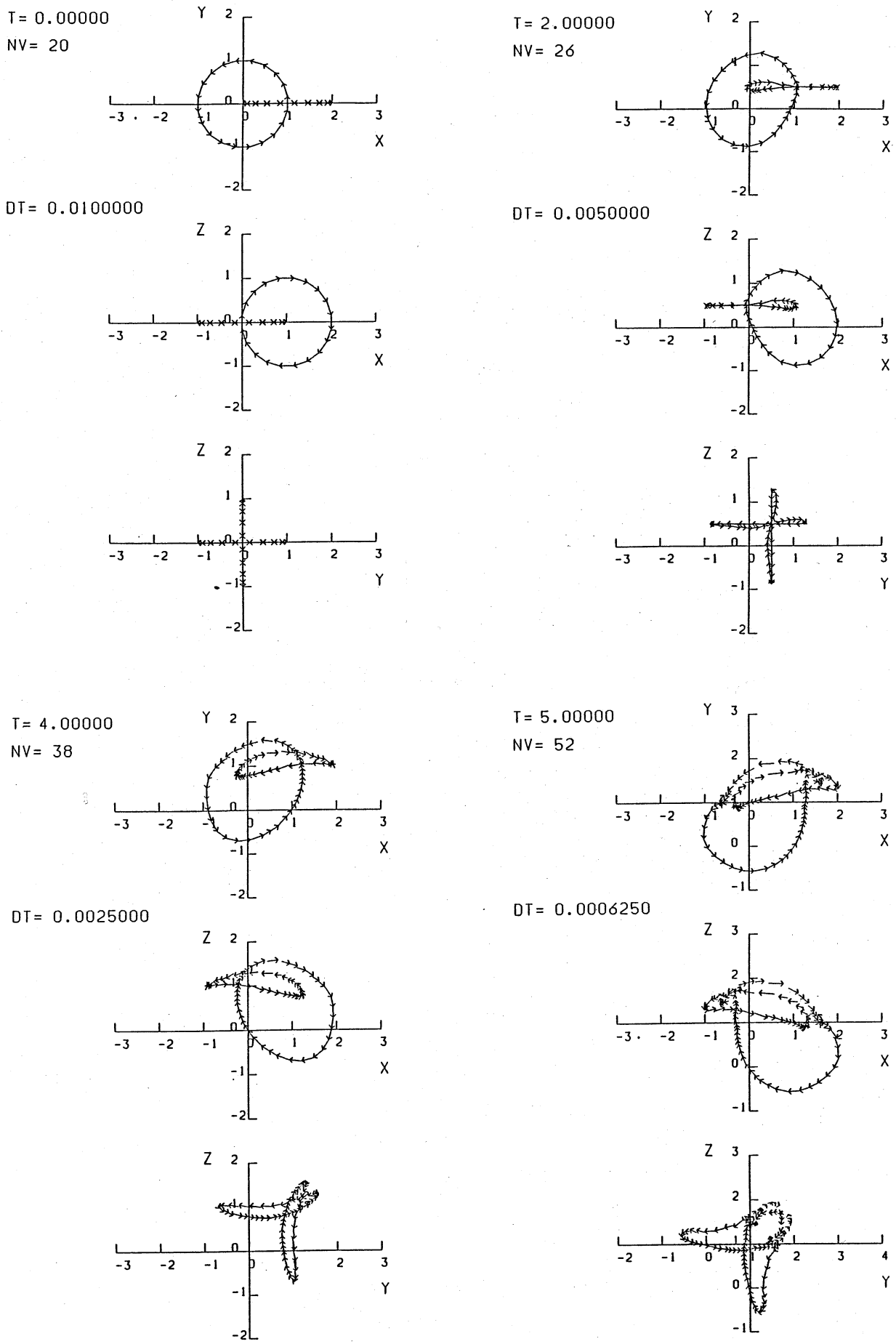
2の力子集の保存量、全エネルギー(オ3回)、全運動
 量(オ4回)、全角運動量(オ5回)、全温度(オ6回)の保
 存は大体満足しうるものであるが、ヘリシティーは $t = 2$ 近
 くまでは一定で、それ以後は振動する。その原因は半径か
 らない。オ6回にはウォートンの最大長さと渦輪全体の長さ
 の時間的軌跡を両対数グラフで示してある。渦輪の渦線が理
 想的グラフとみなすとすれば、その傾斜が $-1/D$ を有し、
 ラグマニ波の D がかかるはずである。上の図からこれが D
 と大体 $D = 1.05$ である。

$$\text{温度の } 1 \text{ は } \omega_1 L_2 L_2 \text{ は } \left[\int \int \int \omega(a, t)^2 a^3 da \right]^{1/2} \text{ は } a \cdots$$

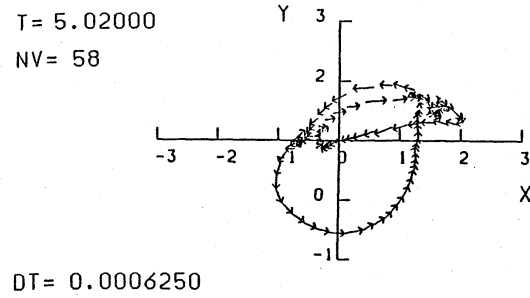
$L_\infty / u_4 \omega_{\max}(t) = \max_{\alpha} |\omega(\alpha, t)|$ とおこう。すると
最高値で規格化し、速度と t の時間的發展の圖
が得られる。それから $t=5$ のナレ先で、これらの量が
何をどう変化するか、すなはて渦度の L_∞ が発散する傾
向があることを示す。これは Euler 方程の爆発性の微候と言え
る。

参考文献

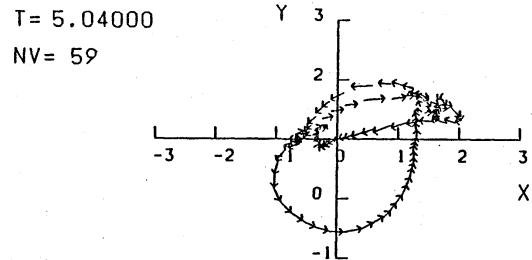
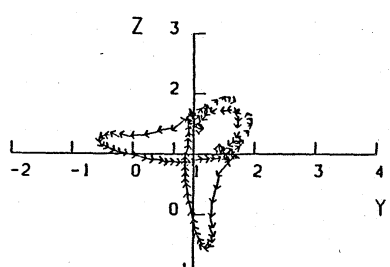
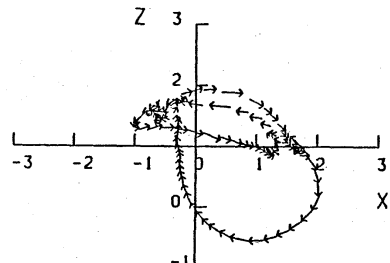
- 1) J. T. Beale and A. Majda: Math. Computation 39(1983)1.
- 2) J. T. Beale and A. Majda: Math. Computation 39(1983)29.
- 3) S. Kuwabara: Proc. of the Symp. on Mech. for Space Flight (1984)15.
- 4) S. Kuwabara: Proc. of the Sump. on Mech. for Space Flight (1985)31.
- 5) S. Kuwabara: J. Phys. Soc. Japan 54(1985) 4881.
- 6) A. Leonard: in Turbulent Shear Flows 2 (ed. by L. J. S. Bradbury et al., Springer, 1980).
- 7) B. Mandelbrot: in Turbulence and NS Equation (ed. by R. Teman, Springer, 1976)121.
- 8) E. A. Novikov: Sov. Phys., JETP 57(1983)566.
- 9) P. G. Saffman: in Transition and Turbulence (Academic Press, 1981)149.



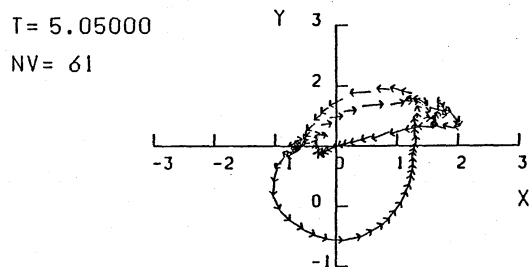
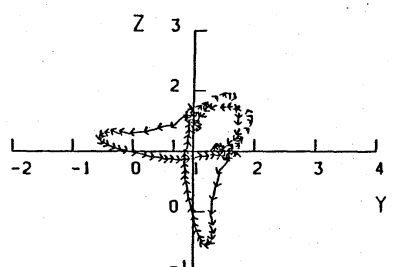
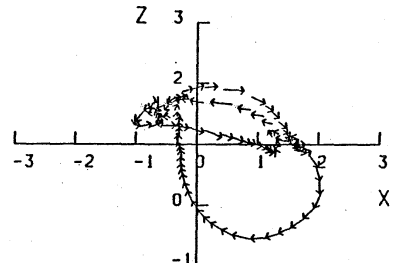
第1図. 絡まつた2つ渦輪の時間的発展1（3面図）



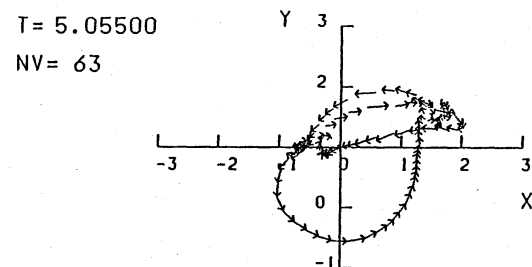
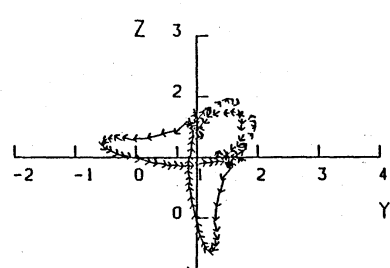
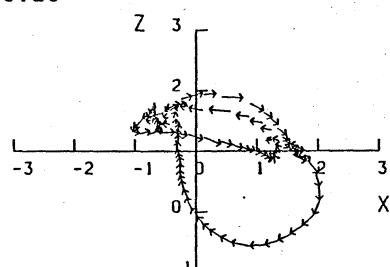
$DT = 0.0006250$



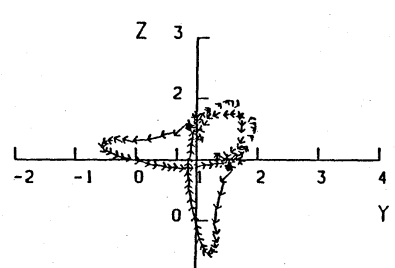
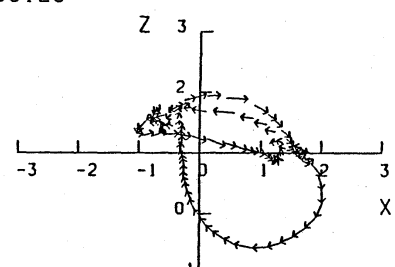
$DT = 0.0003125$



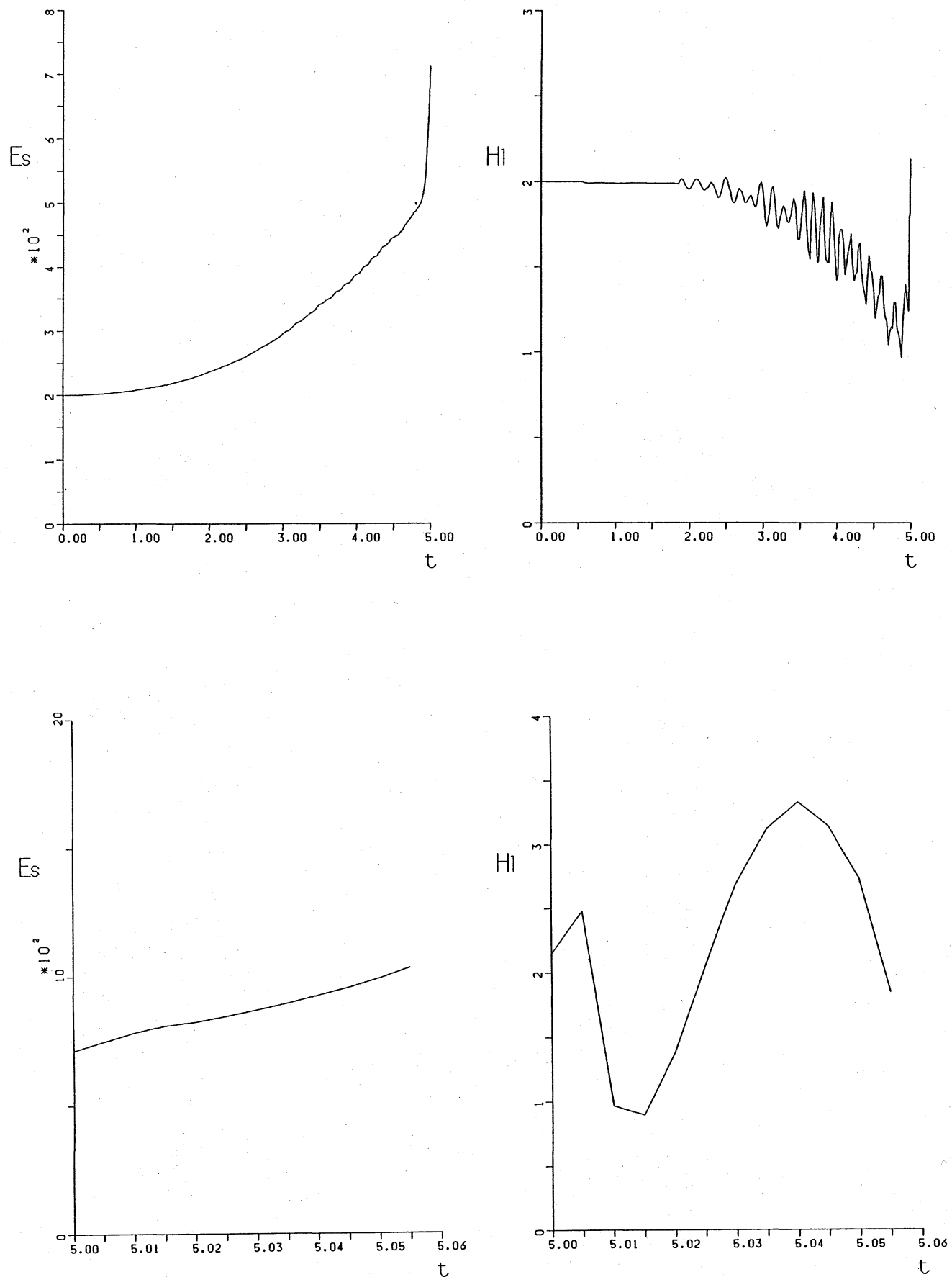
$DT = 0.0003125$



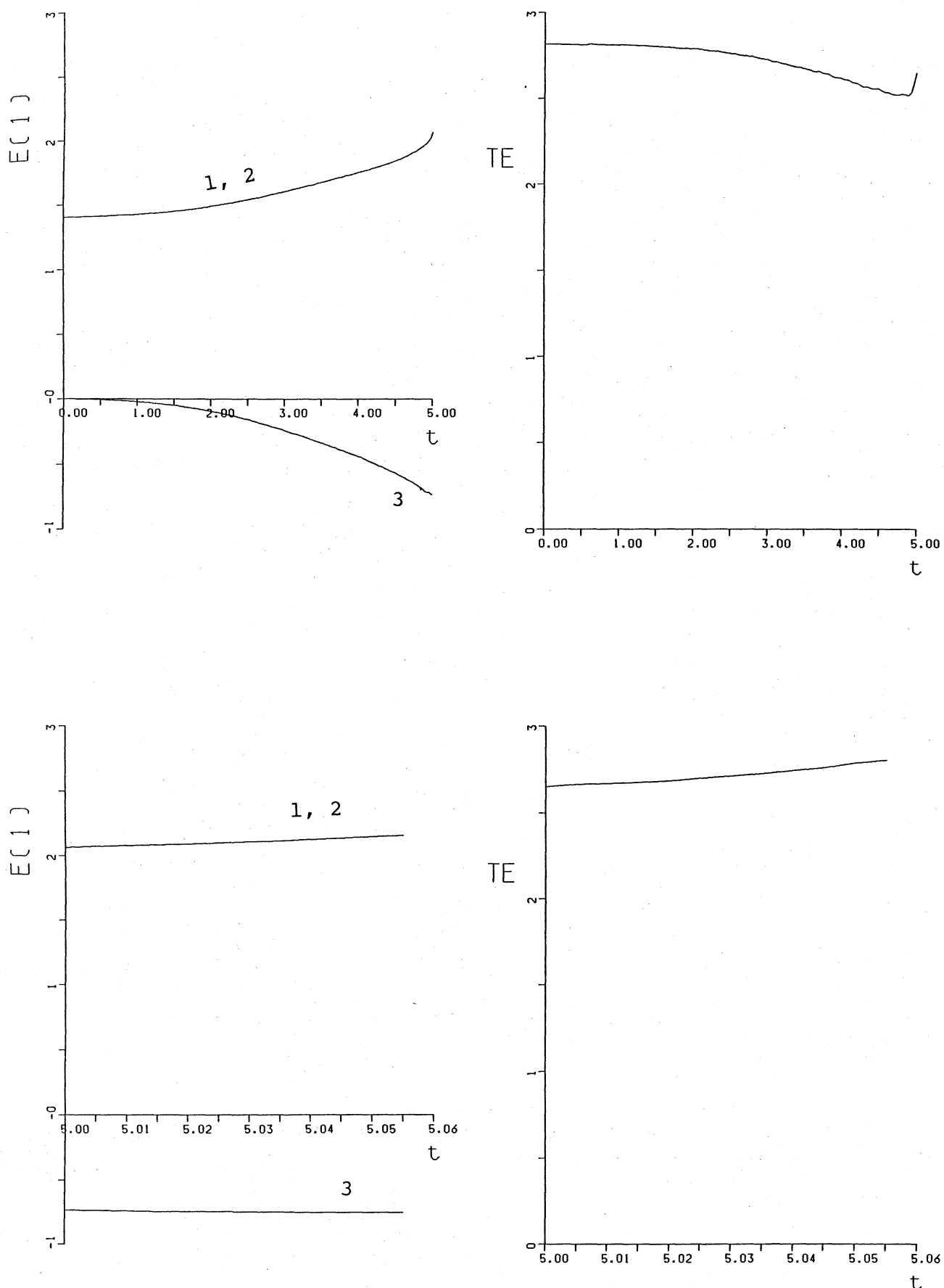
$DT = 0.0003125$



第1図. 絡まつた2つ渦輪の時間的発展2 (3面図)

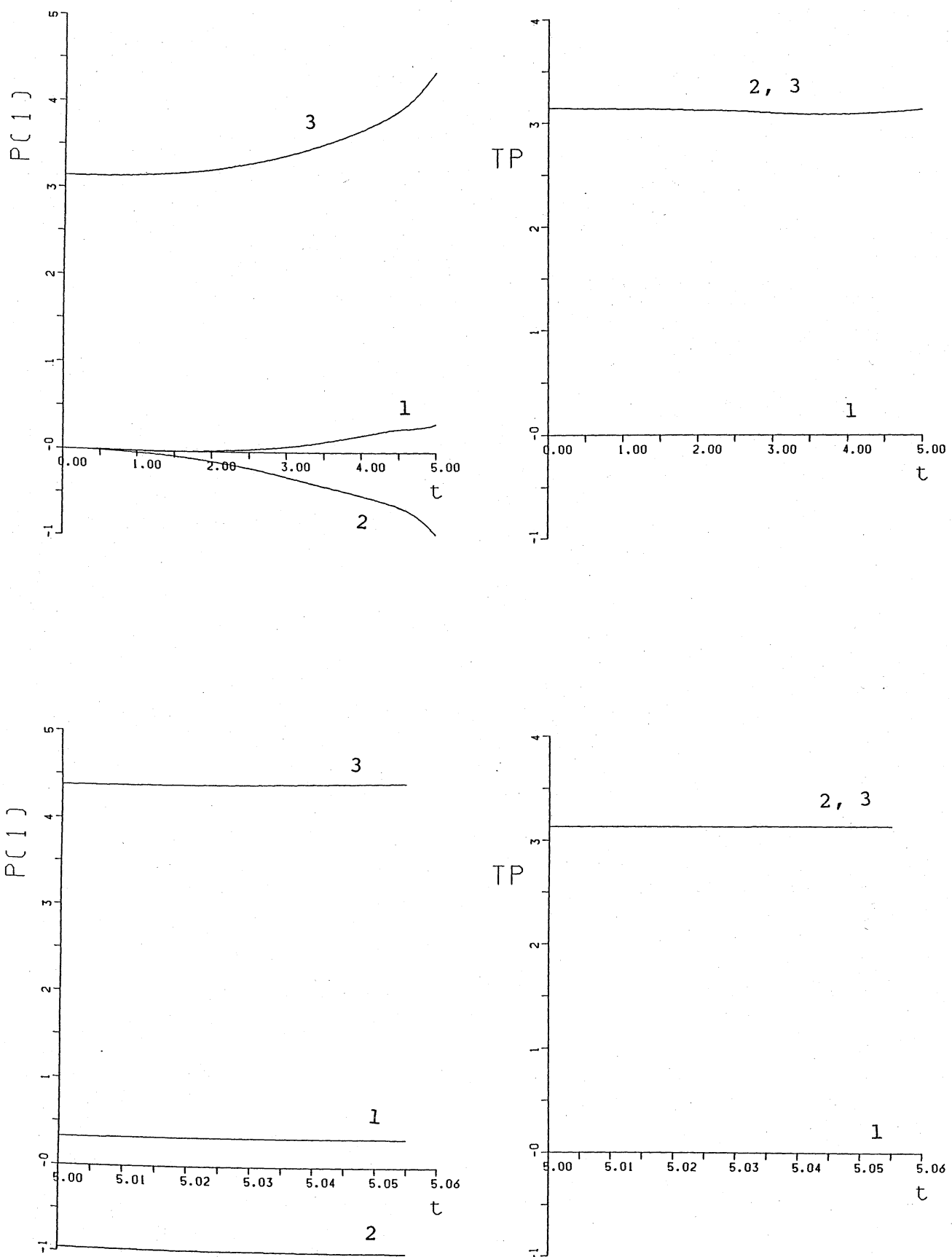


第2図. エンストロフィーとヘリシティーの時間的発展



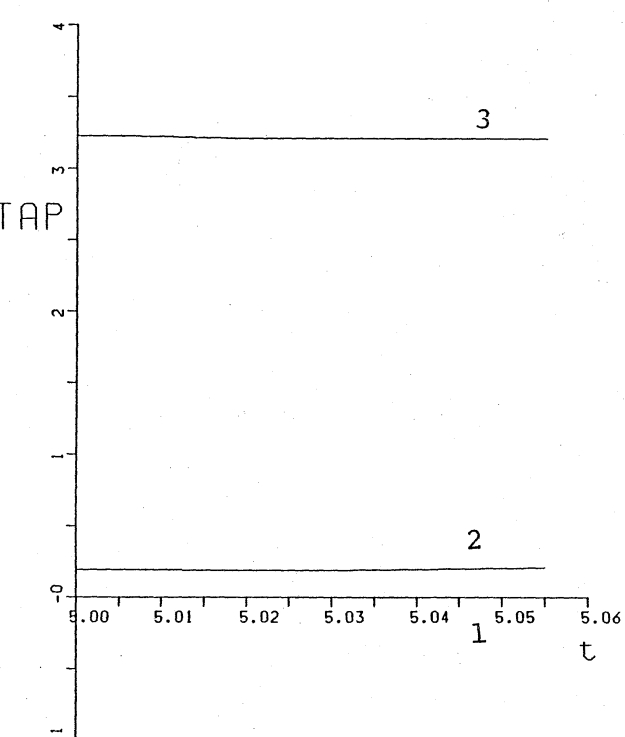
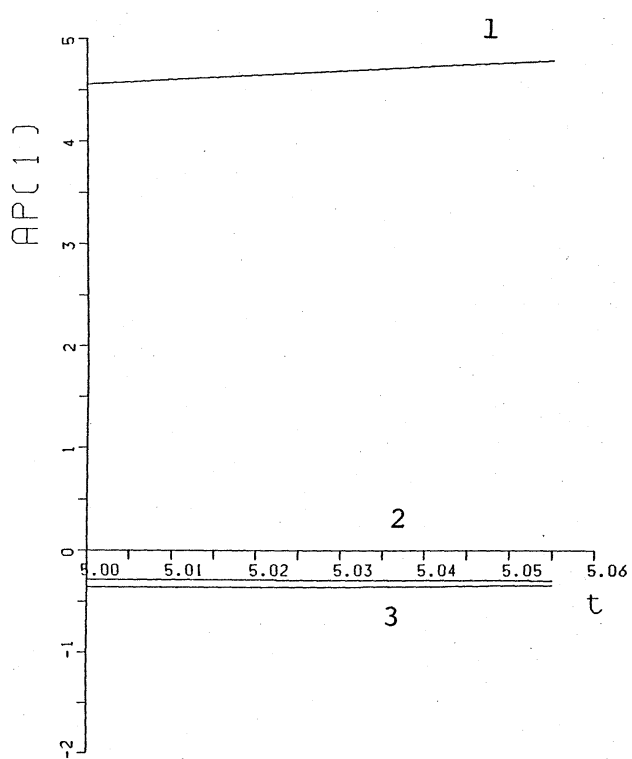
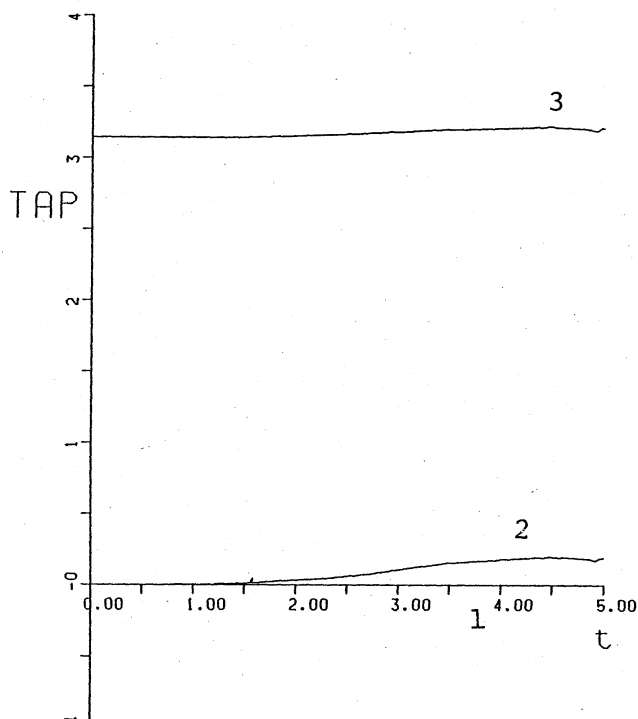
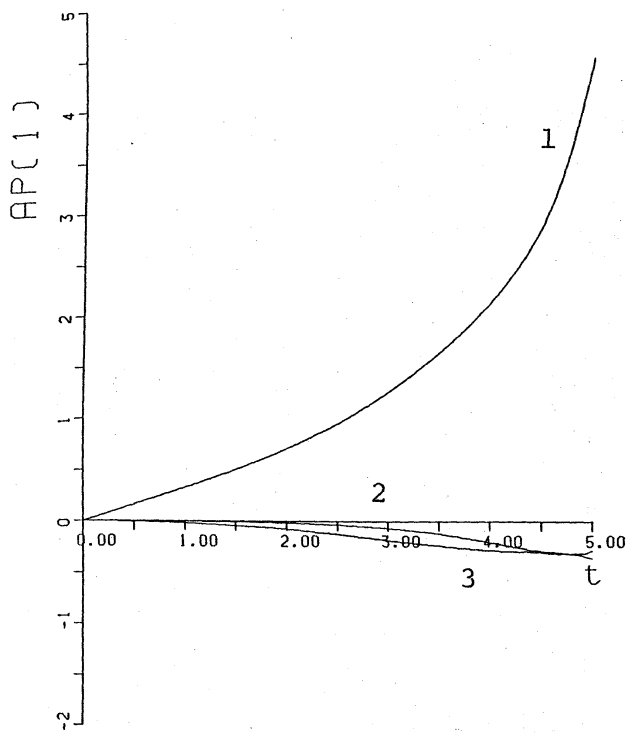
第3図. 運動エネルギーの時間的発展.

1 : 涡輪1, 2 : 涡輪2, 3 : 相互エネルギー,
TE : 全エネルギー \rightarrow

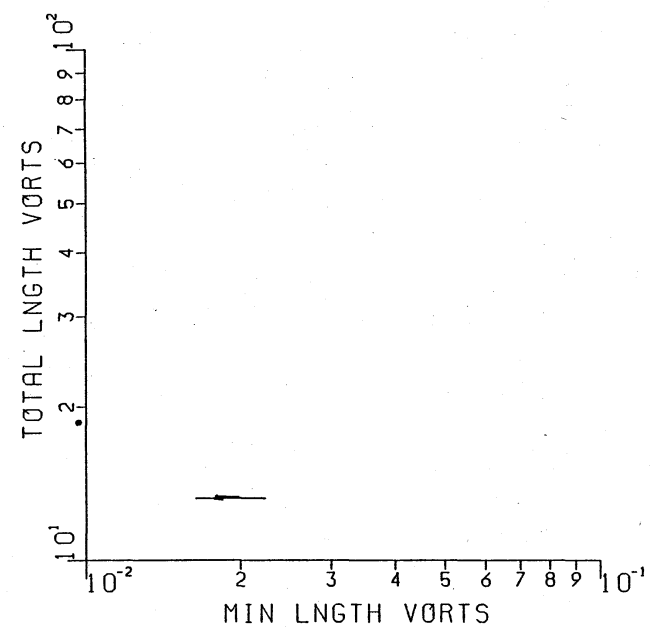
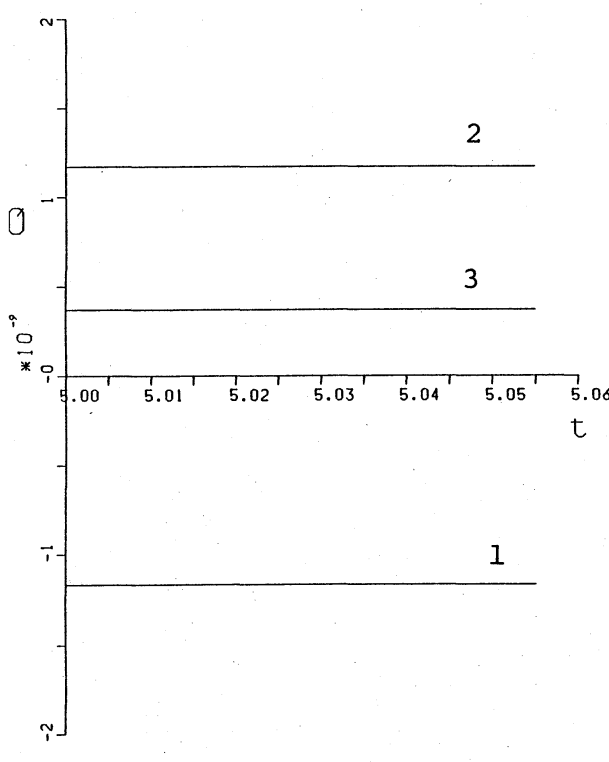
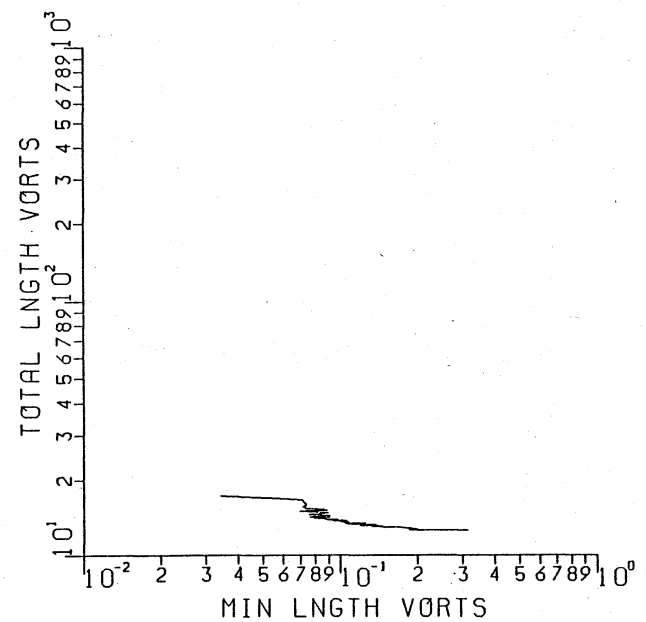
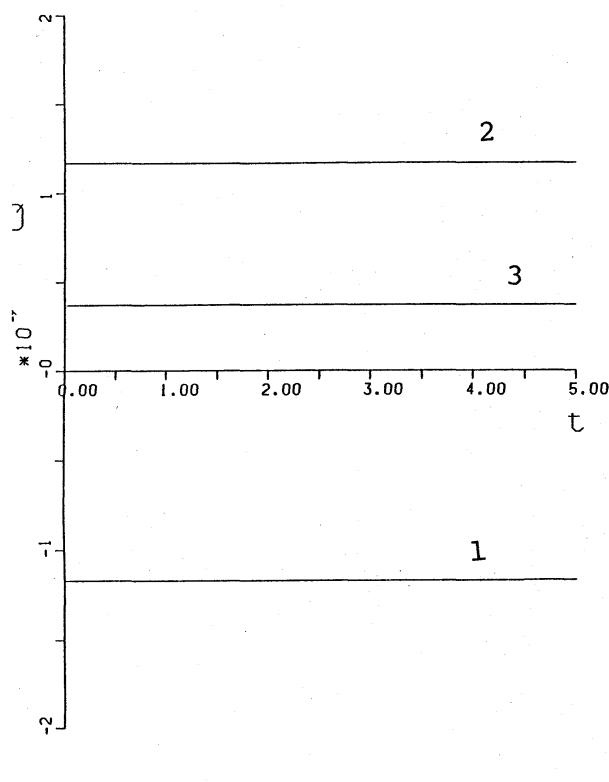


第4図. 運動量成分の時間的発展.

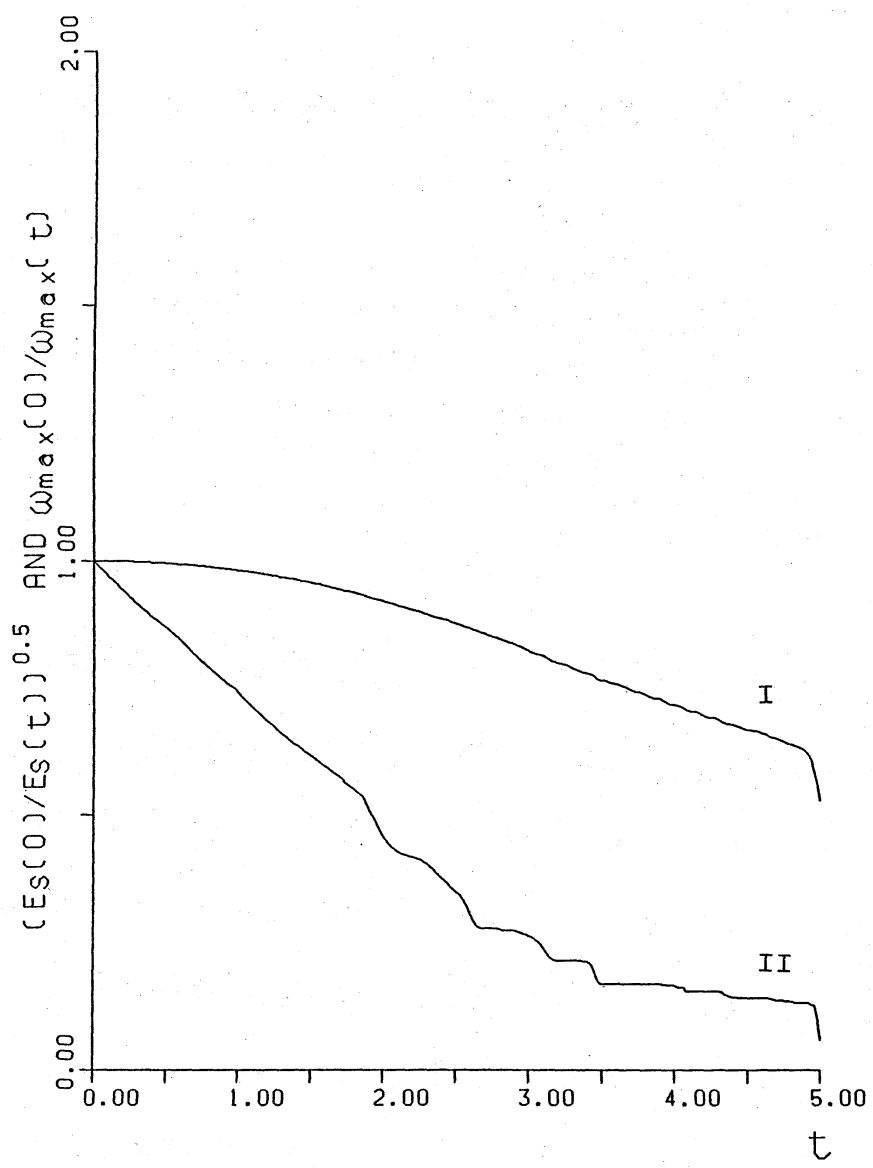
(1, 2, 3) : 成分, $P(1)$: 渦輪 1, TP : 全運動量



第5図. 角運動量成分の時間的発展。
AP (1) : 渦輪1, TAP : 全角運動量



第6図 全渦度の時間的発展およびヴォートンの最小長さと渦輪の長さの時間的軌跡



第7図. 涡度ノルムの逆数の時間的発展.

$$\text{I : } (E_s(0) / E_s(t))^{0.5}, \quad \text{II : } \omega_{\max}(0) / \omega_{\max}(t)$$